

Leyendas de las Figuras

Figura 1-a: Excitaciones de dos fermiones a $T=0$ MeV en un núcleo de capa cerrada. Sólo puede excitarse el canal de partícula-agujero (p-h).

Figura 1-b: Excitaciones de dos fermiones a $T \neq 0$ MeV en un núcleo de capa cerrada. Pueden excitarse el canal de partícula-partícula (p-p) y el canal de agujero-agujero (h-h) además del canal de partícula-agujero (p-h).

Figura 2: Gap de apareamiento $\Delta(T)$, como función de la temperatura en el ^{116}Sn .

Figura 3: Dependencia con la temperatura de las soluciones de la RPA en el ^{116}Sn . La línea punteada indica el valor de T_c . En la fase normal ($T > T_c$) las líneas sólidas corresponden a los modos de adición y las líneas con puntos corresponden a los modos de remoción.

Figura 4: Energía de excitación E^* de los grados de libertad fermiónicos (F) y bosónicos (RPA) como función de la temperatura en ^{116}Sn . La suma de ambas se denota por Total. La línea punteada corresponde a la temperatura de transición del sistema.

Figura 5: Calor específico C como función de la temperatura en ^{116}Sn . La contribución fermiónica (F) y bosónica (RPA) se muestran con círculos llenos y círculos vacíos, respectivamente, a ambos lados de la temperatura de transición T_c , la que se denota en línea punteada. La línea sólida corresponde al valor total de C.

Figura 6: Contribuciones fermiónica y bosónica al parámetro de densidad de niveles como función de la temperatura en ^{208}Pb . La contribución para los modos vibracionales de multipolaridad $\lambda^{\pi}=2^+$ y 3^- se denota como (a) y (b), respectivamente, y sus magnitudes se proporcionan en la escala de la izquierda. La contribución fermiónica se denota por (c) y sus valores se proporcionan en la escala de la derecha.

Figura 7: Contribución fermiónica al parámetro de densidad de niveles como función de la temperatura en ^{60}Zn .

Figura 8-a: Contribución bosónica al parámetro de densidad de niveles en ^{60}Zn como función de la temperatura. La relación del valor de la constante de acoplamiento del canal de partícula-partícula respecto de la del canal de partícula-agujero, G_{pp}/G_{ph} , vale 1 para la curva denotada por X, 0.75 para \blacklozenge , 0.50 para \blacktriangle , y 0.25 para \blacksquare .

Figura 8-b: Contribución bosónica al parámetro de densidad de niveles en ^{60}Zn como función de la temperatura. La relación del valor de la constante de acoplamiento del canal de partícula-partícula respecto de la del canal de partícula-agujero, G_{pp}/G_{ph} , vale 1 para la curva denotada por X, 1.25 para \blacklozenge , 1.50 para \blacktriangle , y 1.75 para \blacksquare .

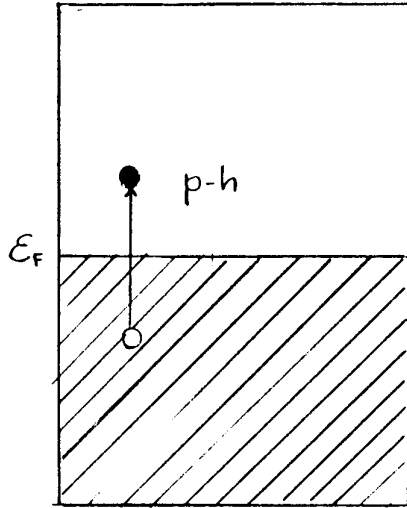


Figura 1-a.

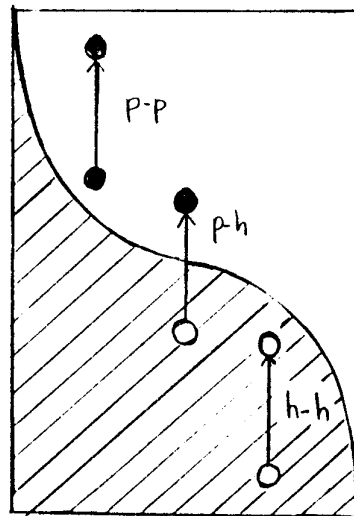


Figura 1-b.

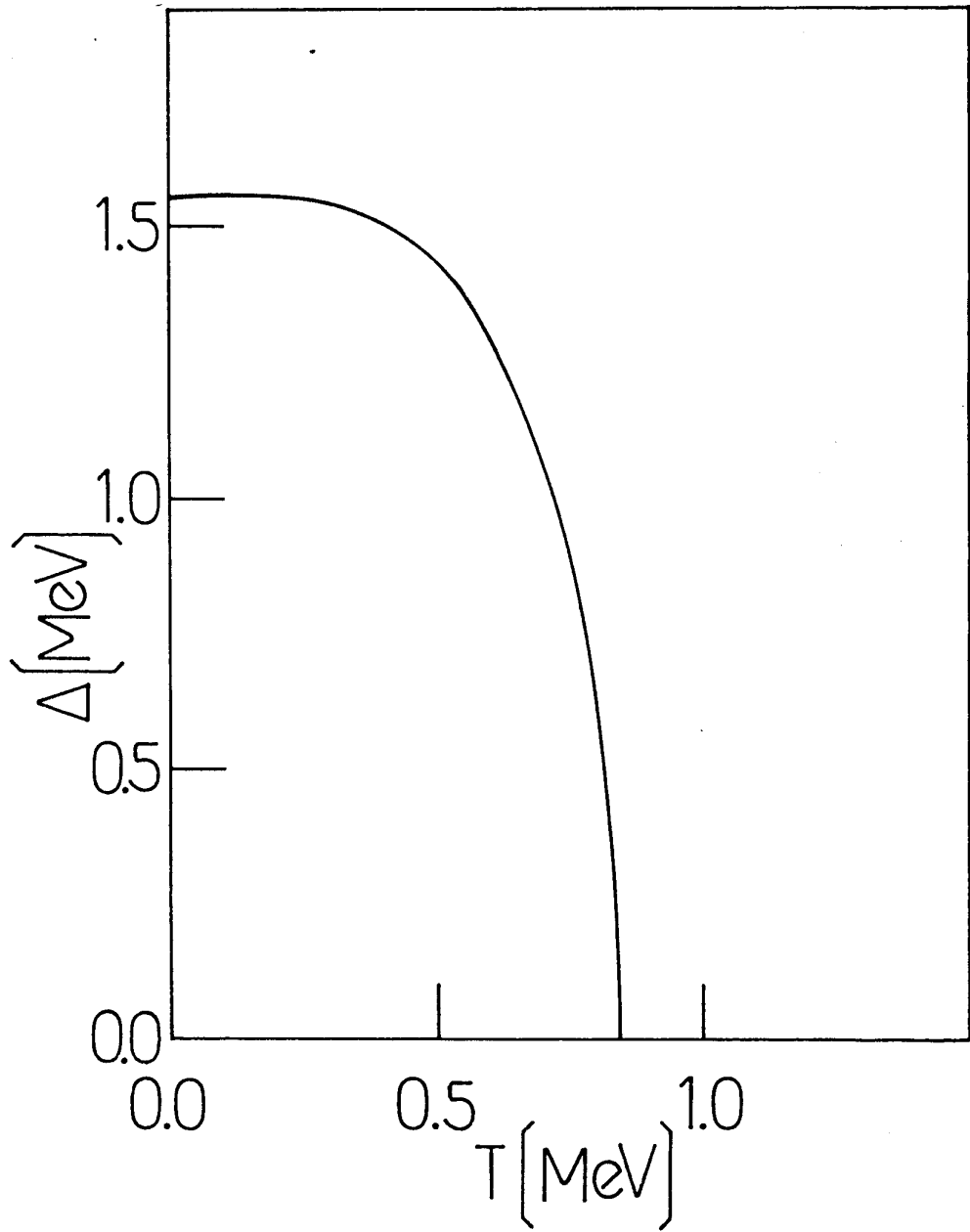


Figura 2 -

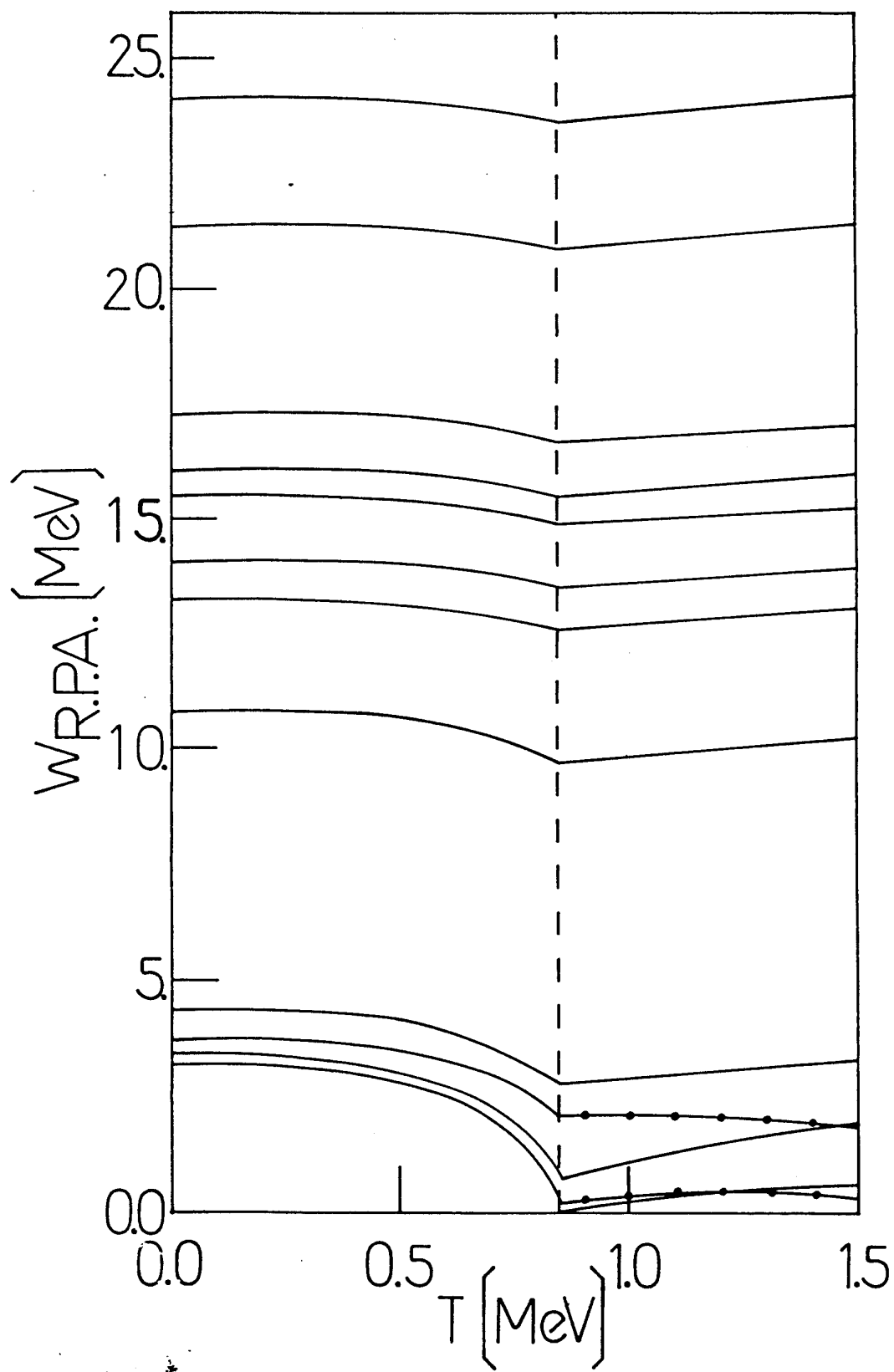


Figura 3.

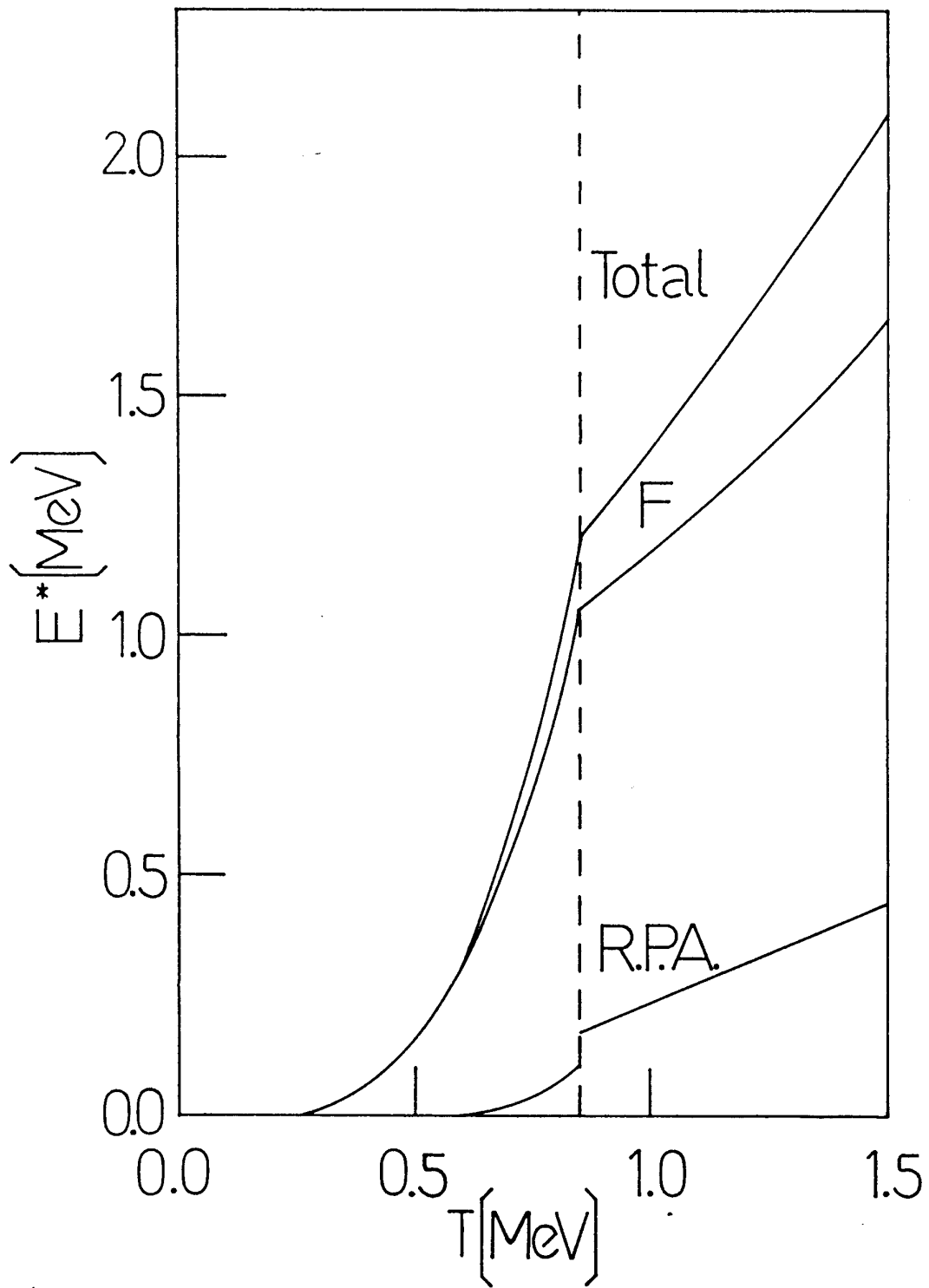


Figura 4.

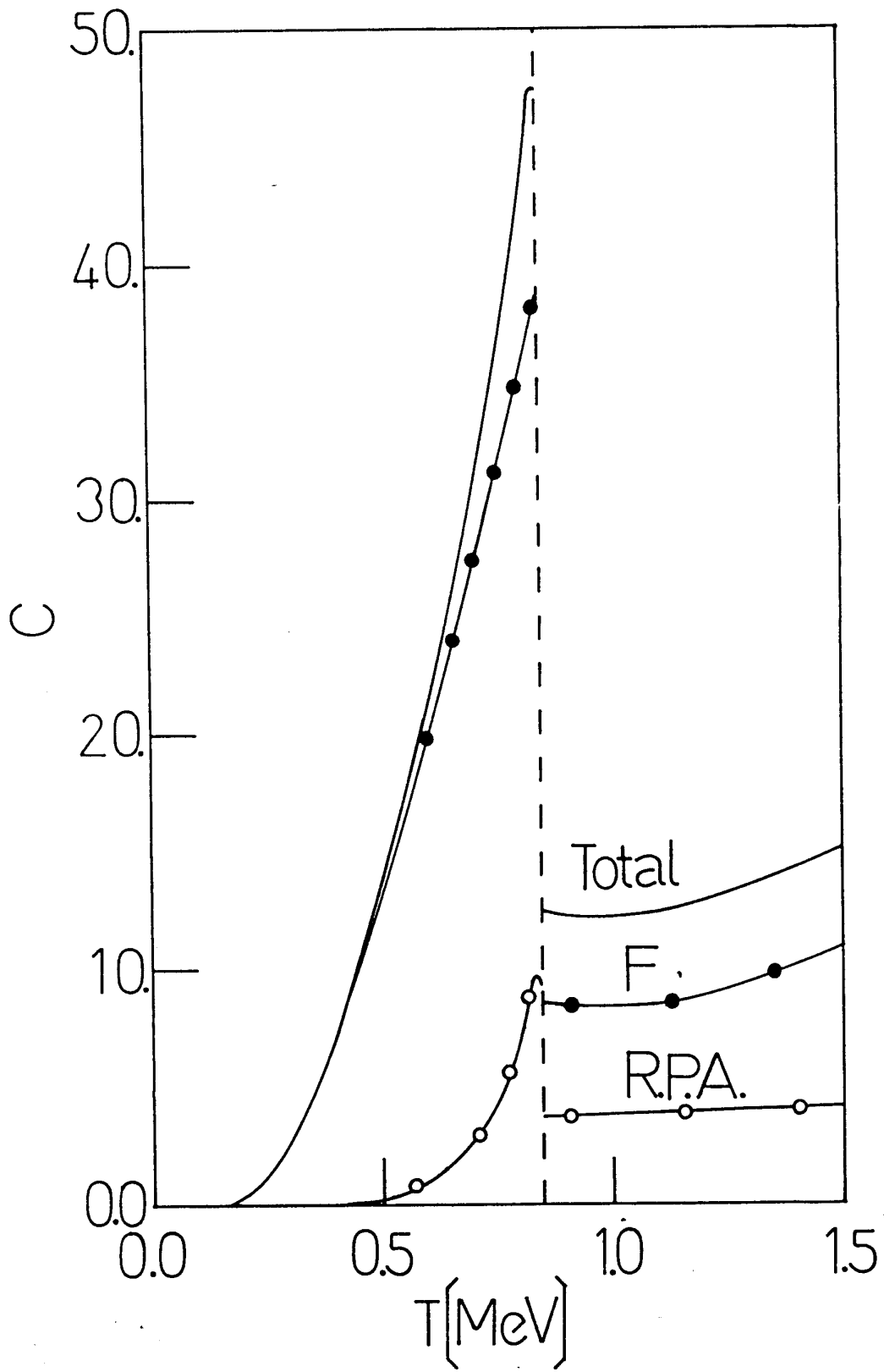


Figura 5.

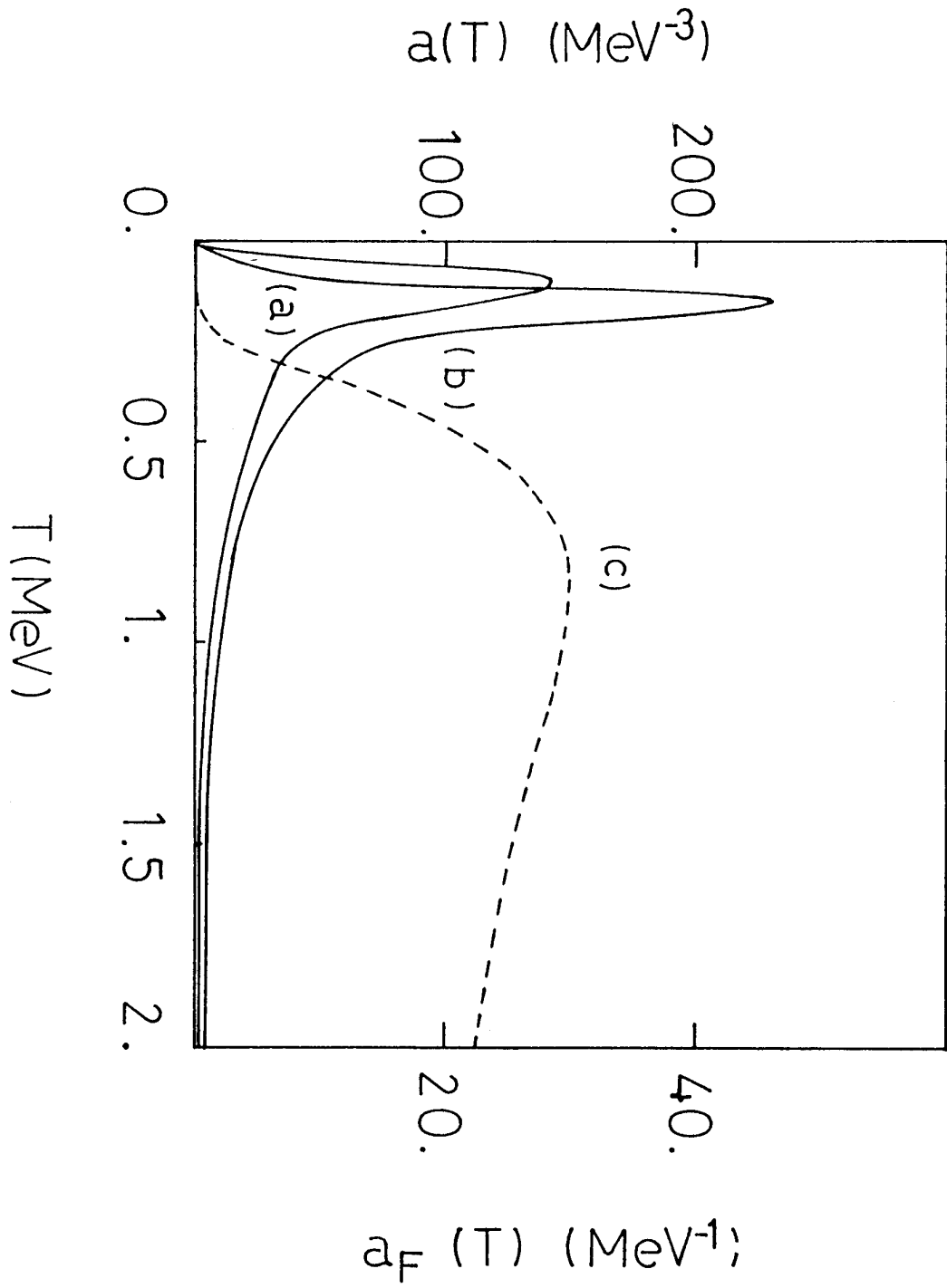


Figura 6.

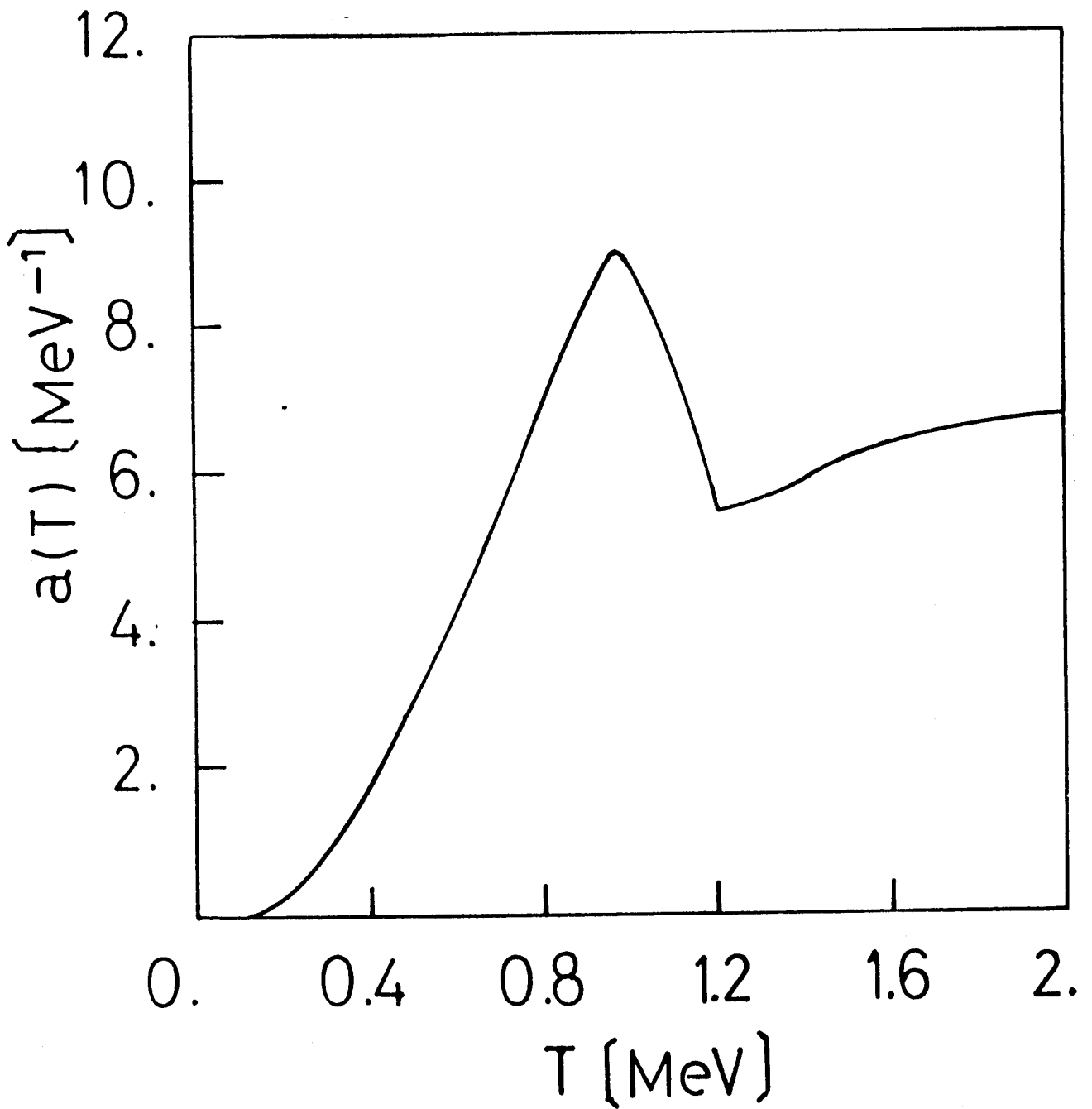


Figura 7.

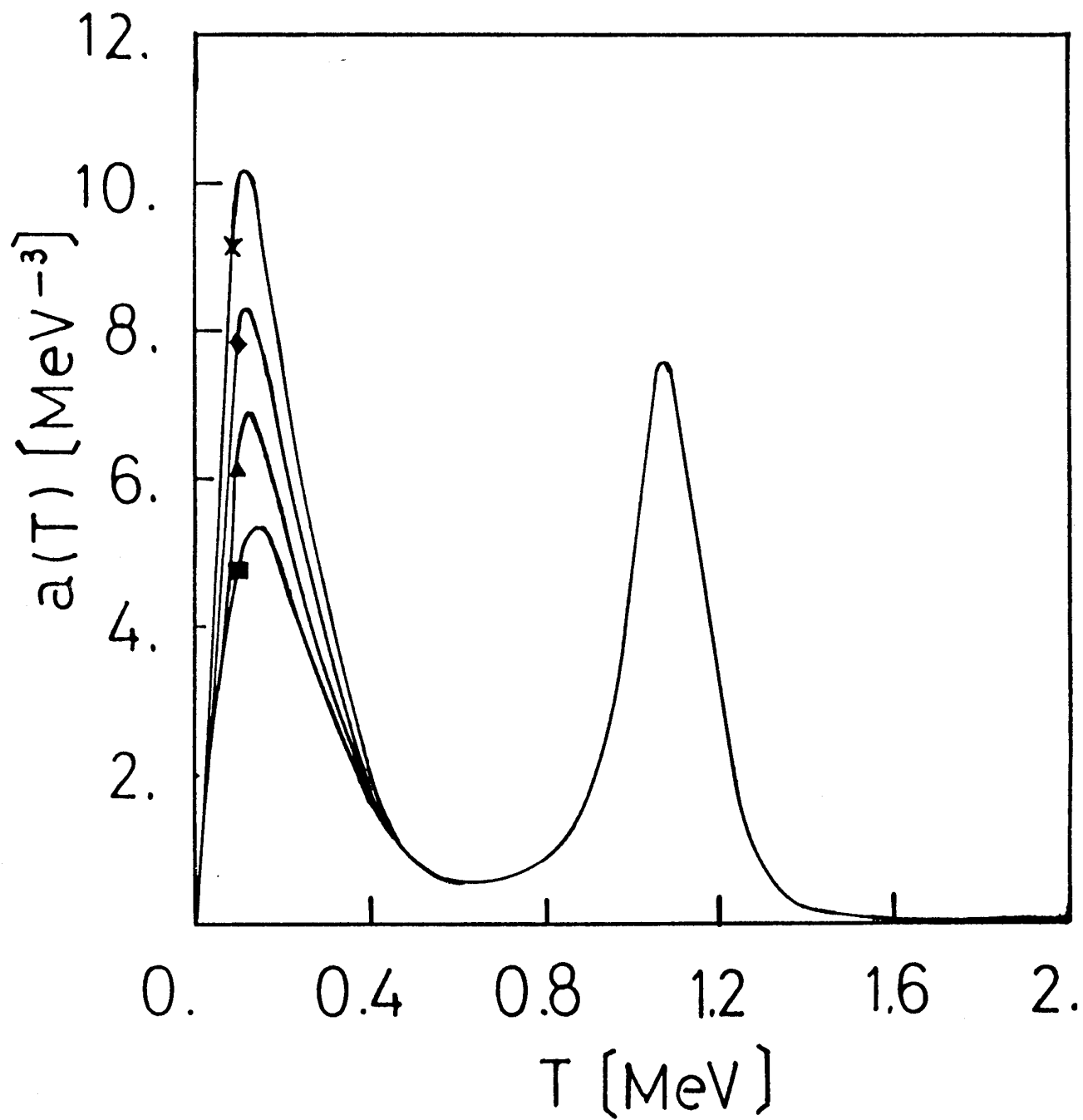


Figura 8-a.

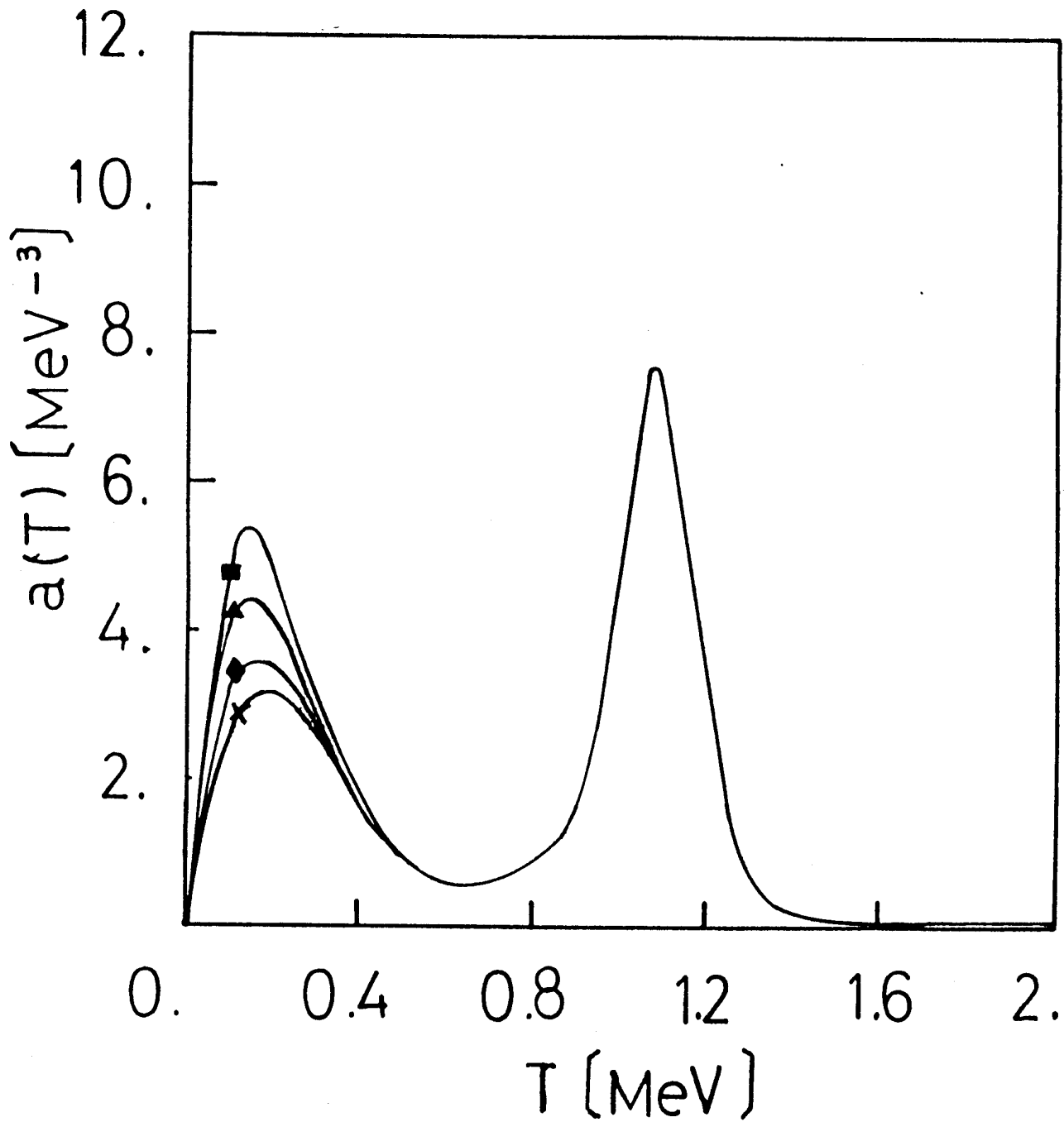


Figura 8-b